

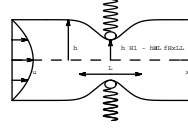
The flow in the glottis: self oscillation of a 2D elastic stenosis

Lagrée P-Y, Gooiman K.

pyl@ccer.jussieu.fr

Laboratoire de Modélisation en Mécanique,
 UMR CNRS 7607
 Boite 162
 Université PARIS VI, PARIS

Un modèle mécanique simple de Glotte



Fluide

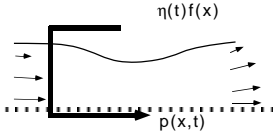
(dans le cadre RNSP(x):
 - la pression est constante dans chaque section
 - le tuyau est long
 y mesuré avec h et x mesuré avec h Re, S Strouhal):

$$\frac{\partial}{\partial x} u + \frac{\partial}{\partial y} v = 0,$$

$$S \frac{\partial}{\partial t} u + u \frac{\partial}{\partial x} u + v \frac{\partial}{\partial y} u = \frac{\partial p}{\partial x} + \frac{\partial^2}{\partial y^2} u \quad \text{et} \quad 0 = - \frac{\partial p}{\partial y}.$$

Sur la paroi $u = 0, v = S \frac{\partial}{\partial t} \eta(t)$
 symétrie en 0 $\frac{\partial}{\partial y} u = 0, v = 0$

résultat: la pression p(x,t) calcul de la pression intégrée le long de la sténose



Solide

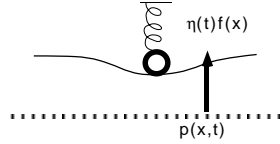
(hypersimplifié modèle symétrique "à une masse"):
 - deux ressorts symétriques sans amortissement
 - la forme générale de la sténose est inchangée f(x), le paramètre η(t) permet de passer ensuite à la forme effective η(t)f(x)

$$\frac{d^2}{dt^2} \eta(t) + \omega_0^2 \eta(t) = - P_d P(\eta(t)) \frac{d}{dt} \eta(t)$$

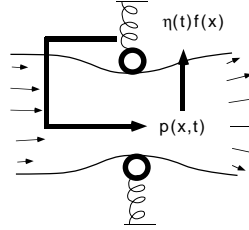
avec

$$P(\eta(t)) \frac{d}{dt} \eta(t)$$

l'intégrale de la pression instantanée sur la bosse



Problème couplé instationnaire à paroi mobile
 interaction fluide structure



Si le flux est imposé on peut montrer que

$$P(\eta(t)) \frac{d}{dt} \eta(t) \sim \pi_1 \eta(t) - \pi_2 \frac{d}{dt} \eta(t)$$

Le régime est toujours explosif

Argument 1:

en effet, il faut alors passer par un modèle en double pont (issu du "triple deck")

- si ω est petit:

$$p = -TP^{-1}(\alpha \eta)^2 (3 A1(0) TP_{11}^{-1}) - TP^{-1}(-9 A1(0) A1(0)) (1 + \omega TP_{11}^{-1}) (6 \alpha) + \dots$$

$$P(\eta(t)) \frac{d}{dt} \eta(t) = -(2.035 l_2^4 l_3^3) \eta - (0.504 l_2^2 \frac{d}{dt} \eta(t))$$

- si ω est grand:

$$p = -TP^{-1}(\alpha \omega) TP_{11}^{-1} (6 \alpha)$$

$$P(\eta(t)) \frac{d}{dt} \eta(t) = -(0.609 l_2^2 \frac{d}{dt} \eta(t))$$

Argument 2:

idée simple menant au même résultat:
 Rocard 1971

écoulement uniforme de fluide parfait entre deux plans

perturbé par une petite bosse ηf:

$$u = 1 + u_1 + \dots$$

$$h = 1 - \eta f + \dots$$

$$p = 1 + p_1 + \dots$$

substitution dans les équations d'Euler à nombre S petit:

$$\frac{\partial}{\partial x} p_1 = - \frac{\partial}{\partial x} (\eta f) - 2 S \frac{\partial}{\partial t} (\eta f) + O(S^2)$$

la pression est proportionnelle à la somme de la forme de la bosse et de la dérivée temporelle de son intégrale spatiale.

Résolution numérique

* pour le fluide:

- équations reformulées dans un domaine fixe par changement de variable

$Y = \frac{y}{h(x,t)}$ (le domaine transverse est donc $0 < Y < 1$) - différences finies par avancée en x pour chaque t - à paroi donnée on cherche la pression correcte

- soit le profil initial est donné, la chute de pression entre l'entrée et la sortie (Δp=0) est alors un résultat
 - soit la chute de pression (Δp=0) est imposée, la valeur du flux en entrée est alors un résultat

* Méthode de Newmark pour le ressort

- deux étapes de prédiction et correction
 - la pression (provenant du fluide) est un terme source du système solide
 - cette méthode est NON dissipative MAIS dispersive.

RNSP est plus rapide que NS complet mais conserve les mécanismes principaux

RNSP est plus lent que les résolutions 1D (Bernoulli + conservation du flux)

CONCLUSION

Toujours amplification si le flux est imposé

Si on impose la valeur du saut de pression entre l'entrée et la sortie: amplification ou atténuation.

Jusqu'à présent il était admis que seuls les modèles à deux masses (4 masses en tout) pouvaient osciller.

Perspectives:

- meilleurs modèles de paroi élastique
- tenir compte de la fermeture...
- validation des modèles simples utilisés en synthèse de parole.

Bibliographie

- Louis N.J.C., Hofmann G.C.J., Veldhuis R.N.J., Hirschberg A., (1998), Acoustica 84, p. 1135-1150.
- Luo X.Y., & Pedley T.J. (1998), J. F. M., vol 363, pp 253-280.
- Titze I.R. (1988), J. Acoust. Soc. Am., Vol 83(4) pp 1536-1552.

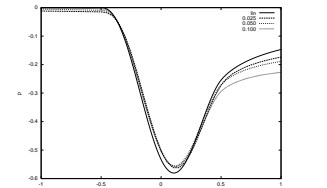


Figure 7: Dimensional pressure versus dimensionless x rescaled in the relative Double Deck scales showing that the smaller the width of the bump, the closer the Double Deck description is valid: $l_2=1, l_3=0.05$ and 0.025 (S=0). The relative height of the bump is $\alpha=0.01$. The curve denoted "lin" is the solution of the linearized system

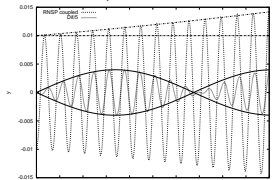


Figure 8: Example of $\eta(t)$ and $p = \eta \exp(0.504 (P_2 l_2^2) t^2)$ in the case $\eta_0=0.01, P_2=5, \omega=1$ and $L=0.05$. The shift in frequency for small l_2 is $1.02 l_2^4 P_2$. The difference between the computed response (multiplied by $\exp(0.25 P_2 l_2^2 t)$) and the free oscillation (the result is divided by 5 for sake of clarity of the figure) is plotted as well and labeled "Diff". The envelope of this curve should be proportional to $\sin(1.02 l_2^4 (P_2 l_2^2) t)$ ($l_2 < 1$) which are plotted as well ($\omega=1, S=1$ and $P_2=5$).

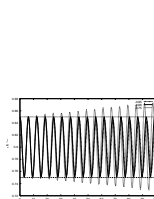


Figure 9: Example of the oscillation of the wall $\eta(t) = \alpha$ of the mass-spring system as a function of time ($\omega_0 = 1, \alpha = 0.2, P_2 = 10, \eta_0 = 1, l_2 = 1, l_3 = 1, l_4 = 1, l_5 = 1, l_6 = 1, l_7 = 1, l_8 = 1, l_9 = 1, l_{10} = 1$). For this example, the critical value of the pressure drop $\Delta p^* = 1.415$. Lower pressure drop lead to oscillations damped toward a steady state solution while larger pressure produce an increasing oscillation.

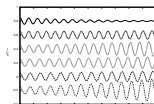
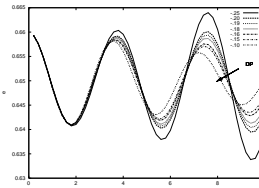


Figure 10: Example of the oscillation of the wall $\eta(t) = \alpha$ of the mass-spring system as a function of time, various values of α and $P_2=2$ (parameters: $l_2=1$ the walls, $l_3=1, l_4=1$ and l_5 from bottom to top ($l_6 = 1, l_7 = 1, l_8 = 1, l_9 = 1, l_{10} = 1, l_{11} = 1, l_{12} = 1$)).



Small bump case with high Strouhal: $S=1000, \omega_0=2, x_0=0.002, x_1=0.001, \alpha=0.65, P_2=1000$ or various values of Δp (the arrow is directed from the smaller value -0.25 to the larger -0.10).

